

ПРОГНОЗИРОВАНИЕ ВЕКТОРНЫХ АВТОРЕГРЕССИОННЫХ ВРЕМЕННЫХ РЯДОВ С ПРОПУСКАМИ

Ю. С. Харин, А. С. Гурин

Белорусский государственный университет

г. Минск, Беларусь

Kharin@bsu.by, Hurynaliaksandr@yahoo.com

В статье рассматривается проблема статистического прогнозирования векторных авторегрессионных временных рядов при наличии пропущенных значений. Найден и исследован среднеквадратический риск прогнозирования и коэффициент неустойчивости риска. Представлены результаты численных экспериментов.

Ключевые слова: прогнозирование, авторегрессия, пропущенные значения, риск.

ВВЕДЕНИЕ

Пропуски являются типичными искажениями модельных предположений в анализе данных [9, 15]. Их появление может быть обусловлено различными причинами [2, 14]: 1) данные не регистрируются с необходимой частотой; 2) ошибки регистрации; 3) удаление выбросов.

Авторегрессионная модель (AR или VAR) часто используется на практике для статистического анализа временных рядов. Можно выделить пять основных задач в статистическом анализе авторегрессионных временных рядов при наличии пропусков: Р1) вычисление функции правдоподобия; Р2) построение оптимального (в некотором смысле) прогноза; Р3) интерполирование пропущенных значений; Р4) построение статистических оценок модельных параметров; Р5) вычисление риска (среднеквадратической ошибки прогнозирования).

Работа [6] посвящена построению статистических оценок модельных параметров и исследованию их свойств. В [5] предложены некоторые методы прогнозирования авторегрессионных временных рядов с пропусками.

Настоящая статья главным образом посвящена аналитическому решению задачи Р5. Проводится вычисление риска МП-прогнозирования для векторных авторегрессионных временных рядов при различных уровнях априорной информации о модельных параметрах (известных точно, неизвестных и оцениваемых по выборке), вычисление приращения риска, которое связано с наличием пропущенных значений, анализ устойчивости риска для различных шаблонов пропусков и различных уровнях априорной информации.

МАТЕМАТИЧЕСКАЯ МОДЕЛЬ

Пусть наблюдаемый векторный временной ряд описывается VAR(1) моделью:

$$Y_t = BY_{t-1} + U_t, \quad t \in \mathbb{Z}, \quad (1)$$

где \mathbf{Z} – множество целых чисел, $Y_t = (y_{t1}, \dots, y_{tp})' \in \mathbf{R}^p$, B – ($p \times p$)-матрица коэффициентов, $U_t = (u_{t1}, \dots, u_{tp})' \in \mathbf{R}^p$, $\{U_t\}$ – н. о. р. нормальные случайные векторы, $E\{U_t\} = 0_p$ – нулевой p -вектор, $E\{U_t U_t'\} = \Sigma$, $|\Sigma| \neq 0$, все собственные числа матрицы B лежат в единичном круге. В наблюдениях $\{Y_t\}$ имеются пропуски. Для каждого вектора Y_t задан бинарный вектор (шаблон) $O_t = (o_{t1}, \dots, o_{tp})' \in \mathbf{R}^p$, где $o_{ti} = \begin{cases} 1, & \text{если } y_{ti} \text{ наблюдается;} \\ 0, & \text{если } y_{ti} \text{ – пропуск} \end{cases}$. Заметим, что AR(p) и VAR(p) модели могут быть приведены к VAR(1) увеличением числа компонент [1].

Определим конечное множество $M = \{(t, i), t \in \mathbf{Z}, i \in \{1, \dots, p\}: o_{ti} = 1\}$ лексикографически упорядоченных пар индексов наблюдаемых данных; $K = |M|$ – общее число наблюдаемых компонент; $t_- = \min \left\{ t : \sum_{i=1}^p o_{ti} > 0 \right\}$ – минимальный момент времени с наблюдаемыми компонентами, $t_+ = \max \left\{ t : \sum_{i=1}^p o_{ti} > 0 \right\}$ – максимальный момент времени с наблюдаемыми компонентами. Определим биекцию $M \leftrightarrow \{1, \dots, K\}: k = \chi(t, i)$ и обратную функцию $(t, i) = \bar{\chi}(k)$. Составим K -вектор всех наблюдаемых компонент: $X = (x_1, \dots, x_K)' \in \mathbf{R}^K$, $x_k = y_{\bar{\chi}(k)}$, $k = 1, \dots, K$. Заметим, что если $o_{ti} = 1$, $t_- \leq t \leq t_+$, $1 \leq i \leq p$, тогда процесс Y_t наблюдается на $[t_-, t_+]$ без пропусков, и $K = (t_+ - t_- + 1)p$, $X = (Y'_{t_-}, Y'_{t_-+1}, \dots, Y'_{t_+})'$, $\chi(t, i) = i + (t - t_-)p$; $\bar{\chi}(k) = ((k - 0.5)/p) + t_-, (k - 1) \bmod p + 1$, $k = 1, \dots, K$.

Также будем рассматривать AR(p) модель как специальный случай (1):

$$y_t = \beta' Y_{t-1} + \xi_t, \quad t \in \mathbf{Z}, \quad (2)$$

где $Y_t = (y_{t1}, \dots, y_{t-p+1})' \in \mathbf{R}^p$, $\beta \in \mathbf{R}^p$ – p -вектор коэффициентов, $\{\xi_t\}$ – н. о. р. нормальные случайные величины, $E\{\xi_t\} = 0$, $E\{\xi_t^2\} = \sigma^2$, шаблон $O_t = \{1, \text{если } y_t \text{ наблюдается;} \quad 0, \text{если } y_t \text{ – пропуск}\}; M = \{t, t \in \mathbf{Z}: O_t = 1\}$,

$$K = |M| = \sum_{t \in \mathbf{Z}} O_t, \quad k = \chi(t) = \sum_{i \leq t} O_i.$$

Пусть $Y_{t_++\tau} \in \mathbf{R}^p$ – будущее значение процесса, которое подлежит прогнозированию для $\tau \geq 1$, $\hat{Y}_{t_++\tau} = \hat{Y}_{t_++\tau}(X): \mathbf{R}^K \rightarrow \mathbf{R}^p$ – статистика прогнозирования. Качество прогнозирования будем характеризовать ($p \times p$)-матрицей рисков R и риском прогнозирования r :

$$R = E \left\{ \left(\hat{Y}_{t_++\tau} - Y_{t_++\tau} \right) \left(\hat{Y}_{t_++\tau} - Y_{t_++\tau} \right)' \right\}, \quad r = \text{tr}(R) \geq 0. \quad (3)$$

Известно [2], что в случае полных данных и известных параметров B, Σ минимальный риск $r_0^* = \text{tr} \left(\sum_{i=0}^{\tau-1} B^i \Sigma (B')^i \right) > 0$ достигается для прогноза $\tilde{Y}_{t_+ + \tau} = B^\tau Y_{t_+}$. Для того чтобы исследовать поведение риска, введем коэффициент неустойчивости риска [3]:

$$\kappa = \left(r - r_0^* \right) / r_0^* \geq 0, \quad (4)$$

который является относительным приращением риска r , связанным с наличием пропущенных значений, к минимальному риску r_0^* .

МП-ПРОГНОЗИРОВАНИЕ ПРИ НАЛИЧИИ ПРОПУСКОВ И ИЗВЕСТНЫХ B, Σ

Введем матричные обозначения:

$$F = \text{cov}(X, X), \quad G = \text{cov}(X, Y_{t_+ + \tau}), \quad H = \text{cov}(Y_{t_+ + \tau}, Y_{t_+ + \tau}).$$

$$A_0 = A_0(B, \Sigma) = G' F^{-1}, \quad \tilde{\Sigma} = \sum_{i=0}^{\infty} B^i \Sigma (B')^i.$$

Лемма. Имеют место следующие выражения для F, G, H :

$$F_{ij} = F_{ji} = \left(B^{\bar{\chi}_1(i) - \bar{\chi}_1(j)} \tilde{\Sigma} \right)_{\bar{\chi}_2(i), \bar{\chi}_2(j)}, \quad i, j = 1, \dots, K, \quad i \geq j; \quad (5)$$

$$G_{ij} = \left(B^{(t_+ + \tau) - \bar{\chi}_1(i)} \tilde{\Sigma} \right)_{j, \bar{\chi}_2(i)}, \quad i = 1, \dots, K, \quad j = 1, \dots, p; \quad H = \tilde{\Sigma}.$$

Доказательство. Используя выражение ковариационной матрицы для VAR(1) модели [1]: $\text{cov}(Y_i, Y_j) = B^{i-j} \tilde{\Sigma}$, $i \geq j$, находим:

$$\begin{aligned} F_{ij} &= \text{cov}\{x_i, x_j\} = \text{cov}\{y_{\bar{\chi}_1(i)}, y_{\bar{\chi}_1(j)}\} = \\ &= \left(\text{cov}\{Y_{\bar{\chi}_1(i)}, Y_{\bar{\chi}_1(j)}\} \right)_{\bar{\chi}_2(i), \bar{\chi}_2(j)} = \left(B^{\bar{\chi}_1(i) - \bar{\chi}_1(j)} \tilde{\Sigma} \right)_{\bar{\chi}_2(i), \bar{\chi}_2(j)}. \end{aligned}$$

Подобным образом находим H и G .

Теорема 1. Пусть параметры B, Σ известны и $|F| \neq 0$, тогда МП-прогноз и его риск равны

$$\hat{Y}_{t_+ + \tau} = E\{Y_{t_+ + \tau} | X\} = A_0 X, \quad (6)$$

$$R_0 = H - G' F^{-1} G \geq 0, \quad r_0 = \text{tr}(H) - \text{tr}(F^{-1} G G'). \quad (7)$$

Доказательство. Обозначим $Y_+ = (X', Y'_{t_+ + \tau}) \in \mathbf{R}^{K+p}$. Из модельных предположений (1) видно, что Y_+ имеет нормальное распределение. По теореме Андерсона [1] функция правдоподобия (как плотность вектора Y_+) имеет вид:

$$l(Y_{t_+ + \tau}; B, \Sigma) = n_K(X | 0_K, F) n_p(Y_{t_+ + \tau} | G' F^{-1} X, H - G' F^{-1} G), \quad (8)$$

где $n_K(X | \mu, \Sigma)$ – K -мерная нормальная плотность распределения с параметрами μ, Σ . МП-прогноз есть решение экстремальной задачи: $I(Y_{t_+ + \tau}; B, \Sigma) \rightarrow \max_{Y_{t_+ + \tau}}$. Так как

первый множитель в (8) не зависит от $Y_{t_+ + \tau}$, приходим к единственному решению (6):

$\hat{Y}_{t_+ + \tau} = G' F^{-1} X = A_0 X$. Используя формулу полного математического ожидания и вы-

$$\text{ражение (6), находим риск (7): } R_0 = E \left\{ \left(\hat{Y}_{t_+ + \tau} - Y_{t_+ + \tau} \right) \left(\hat{Y}_{t_+ + \tau} - Y_{t_+ + \tau} \right)^* \right\} = \\ E \left\{ E \left\{ \left(E \left\{ Y_{t_+ + \tau} | X \right\} - Y_{t_+ + \tau} \right)^* \left(E \left\{ Y_{t_+ + \tau} | X \right\} - Y_{t_+ + \tau} \right) | X \right\} \right\} = \\ E \left\{ \text{cov} \left\{ Y_{t_+ + \tau}, Y_{t_+ + \tau} | X \right\} \right\} = \\ E \left\{ H - G' F^{-1} G \right\} = H - G' F^{-1} G.$$

Следствие 1. Коэффициент неустойчивости риска для МП-прогноза (6) имеет вид:

$$\kappa_0 = \left(r_0 - r_0^* \right) / r_0^* = \left(\sum_{i=1}^{\infty} \text{tr} \left(B^i \Sigma (B')^i \right) - \text{tr} \left(G' F^{-1} G \right) \right) / \sum_{i=0}^{\tau-1} \text{tr} \left(B^i \Sigma (B')^i \right) \geq 0.$$

Сформулируем важные следствия для одномерной авторегрессионной модели AR(p), определенной в (2).

Следствие 2. Пусть имеет место AR(p) модель (2) и существует момент времени $t_* = \max \{ t \in M : O_{t_*} = \dots = O_{t_* + p-1} = 1 \}$. Тогда МП-прогноз (6) функционально не зависит от наблюдений $\{y_t : t < t_*\}$: $A_0 = (A_{01}, \dots, A_{0K})$, $A_{01} = \dots = A_{0, \chi(t_*)-1} = 0$.

Доказательство. Используя метод математической индукции, приходим к утверждению.

Это следствие означает, что оптимальный прогноз и его риск являются устойчивыми к подшаблону $\{t \in M : t \leq t_* - 1\}$ для случая, когда истинные значения модельных параметров B, Σ известны точно.

Следствие 3. Если имеет место модель (2) с шаблоном $M_m = \{t_-, \dots, t_+\} \setminus \{m\}$ с одним пропуском y_m в момент времени $m \in \{t_+ - p + 1, \dots, t_+\}$ и $K = t_+ - t_- \geq 2p$, то коэффициент неустойчивости риска для МП-прогноза при $\tau = 1$ равен:

$$\kappa(m) = \beta_{t_+ + 1 - m}^2 / (1 + \beta_1^2 + \dots + \beta_{t_+ - m}^2). \quad (9)$$

Доказательство. Используя представление функции правдоподобия в виде, предложенным Боксом – Дженинсом, интегрируя его по y_m и максимизируя по $y_{t_+ + 1}$, приходим к (9).

Легко заметить из (9), что если коэффициент авторегрессии $\beta_{t_+ + 1 - m} = 0$, тогда $\kappa(m) = 0$ и риск прогнозирования устойчив к пропущенному значению y_m . Формула (9) дает также выражение для области изменения коэффициента неустойчивости риска: $\kappa_- = \min_{0 \leq j \leq p-1} (s_{j+1} - s_j) / s_j \leq \kappa \leq \kappa_+ = \max_{0 \leq j \leq p-1} (s_{j+1} - s_j) / s_j$, где $s_0 = 1$, $s_j = 1 + \beta_1^2 + \dots + \beta_j^2$. Наиболее влиятельным оказывается пропуск y_m^* в момент времени m^* , для которого $\kappa(m^*) = \kappa_+$.

СТАТИСТИЧЕСКОЕ ПРОГНОЗИРОВАНИЕ В СЛУЧАЕ НЕИЗВЕСТНЫХ B, Σ

Теорема 2. Если B, Σ неизвестны, то МП-прогноз для $Y_{t_+ + \tau}$ есть

$$\hat{Y}_{t_+ + \tau} = A_0(\hat{B}, \hat{\Sigma})X, \quad (10)$$

где МП-оценки $\hat{B}, \hat{\Sigma}$ являются решением минимизационной задачи: $I_1(B, \Sigma) = X'F^{-1}X + \ln|F| + \ln|H - G'F^{-1}G| \rightarrow \min_{B, \Sigma}$.

Доказательство. Согласно (8), совместные МП-оценки для $Y_{t_+ + \tau}, B, \Sigma$ есть решение экстремальной задачи: $I(Y_{t_+ + \tau}; B, \Sigma) \rightarrow \max_{Y_{t_+ + \tau}; B, \Sigma}$. Из теоремы 2 получаем (10), где

$\hat{B}, \hat{\Sigma}$ – решение задачи: $n_K(X | 0_K, F)n_p(G'F^{-1}X | G'F^{-1}X, H - G'F^{-1}G) \rightarrow \max_{B, \Sigma}$. Взяв

логарифм, приходим к доказываемому утверждению.

Из-за вычислительной сложности проблемы минимизации в (10) предложим модифицированные МНК-оценки. Будем рассматривать ситуацию с однородным шаблоном наблюдений: $O_t = 0_p$ или $O_t = 1_p$. Обозначим $t_0 = t_-$ и представим последовательность регистрируемых наблюдений в форме: $Y_{t_0}, Y_{t_0+1}, \dots, Y_{t_0+l_0}, \dots, Y_{t_n}, Y_{t_n+1}, \dots, Y_{t_n+l_n}$, $\mathfrak{I} = \{t_0 + 1, \dots, t_0 + l_0, \dots, t_n + 1, \dots, t_n + l_n\}$, $T_0 = |\mathfrak{I}| = l_0 + \dots + l_n \geq n + 1$, где $n + 1$ – число серий без пропусков. Введем обозначения: \otimes – кронекерово произведение матриц, $\text{vec}(A)$ – векторизация матрицы A по строкам. Предположим, что

$T_0 > p$, $\left| \sum_{t \in \mathfrak{I}} Y_t Y_{t-1}' \right| \neq 0$, и представим модификации оценок Андерсона [1] для ситуации с пропусками:

$$\tilde{B} = \sum_{t \in \mathfrak{I}} Y_t Y_{t-1}' \left(\sum_{t \in \mathfrak{I}} Y_{t-1} Y_{t-1}' \right)^{-1}, \quad \tilde{\Sigma} = \frac{1}{T_0} \sum_{t \in \mathfrak{I}} (Y_t - \tilde{B} Y_{t-1})(Y_t - \tilde{B} Y_{t-1})'$$

Теорема 3. Если $T_0 \rightarrow \infty$, $T_0/n \rightarrow \infty$, и матрица $\tilde{\Sigma}$ положительно определена, тогда оценки $\tilde{B}, \tilde{\Sigma}$ состоятельны: $\underset{T_0 \rightarrow \infty}{\text{plim}} \tilde{B} = B$, $\underset{T_0 \rightarrow \infty}{\text{plim}} \tilde{\Sigma} = \Sigma$, и случайный вектор $\text{vec}(\sqrt{T_0}(\tilde{B}' - B'))$ имеет асимптотически нормальное распределение с нулевым математическим ожиданием и ковариационной матрицей $\tilde{\Sigma}^{-1} \otimes \Sigma$.

Доказательство. Несложно заметить, что имеет место матричная сходимость по вероятности: $\underset{T_0 \rightarrow \infty}{\text{plim}} \left(T_0^{-1} \sum_{t \in \mathfrak{I}} Y_t Y_t' - T_0^{-1} \sum_{t \in \mathfrak{I}} Y_{t-1} Y_{t-1}' \right) = 0_{p \times p}$. Она следует из закона больших чисел и следующего неравенства для дисперсий:

$$D\left\{T_0^{-1} \sum_{k=0}^n (y_{t_k+l_k,i} y_{t_k+l_k,j} - y_{t_k,i} y_{t_k,j})\right\} \leq \left(\frac{n}{T_0}\right)^2 \max_{0 \leq k \leq n} D\{y_{t_k+l_k,i} y_{t_k+l_k,j} - y_{t_k,i} y_{t_k,j}\} \leq \\ \leq 4 \left(\frac{n}{T_0}\right)^2 E\left\{(y_{t_0,i} y_{t_0,j})^2\right\}.$$

Далее, следуя схеме доказательства этого утверждения для случая полных данных [1], приходим к сходимости по вероятности и асимптотической нормальности.

Исследуем влияние погрешности оценивания модельных параметров на величину риска аналитическим и численным методами. Численный анализ приведен в следующем разделе. Аналитическое исследование проведем для модели AR(1) при $t_- = 1$, $t_+ = T$, $O_t = 1, t = t_-, \dots, t_+$, $\tau = 1$. Будем рассматривать функционал:

$$\tilde{r} = E\left\{\left(\frac{y_1 \xi_2 + \dots + y_{T-1} \xi_T}{T} y_T\right)^2\right\} \frac{1}{Y_0^2} + \sigma^2, \quad (11)$$

который назовем «упрощенным» риском. Выбор термина «упрощенный» основан на том, что введенная величина получается из риска прогнозирования при использовании оценок Андерсона:

$$r = E\left\{(\hat{y}_{T+1} - y_{T+1})^2\right\} = E\left\{\left(\frac{y_1 \xi_2 + \dots + y_{T-1} \xi_T}{y_1^2 + \dots + y_{T-1}^2} y_T\right)^2\right\} + \sigma^2 \quad (12)$$

формальным переходом к пределу по вероятности в знаменателе.

Теорема 4. Для упрощенного риска (11) справедливо асимптотическое разложение:

$$\tilde{r} = \sigma^2 + \frac{\sigma^2}{T} + \frac{6\beta^4 + 11\beta^2 + 3}{1-\beta^4} \frac{\sigma^2}{T^2} + o\left(\frac{1}{T^2}\right). \quad (13)$$

Доказательство. Используя представление $y_t = \sum_{i=0}^{\infty} \beta^i \xi_{t-i}$ и известные выражения для моментов шестого порядка нормального инновационного процесса ξ_t , приходим к утверждению.

ЧИСЛЕННЫЕ РЕЗУЛЬТАТЫ

Для того чтобы сравнить теоретические и экспериментальные результаты, проведем две серии экспериментов. В первой серии рассмотрим модель AR(11) для классических центрированных данных по численности канадской рыси «The Canadian Lynx data 1821–1934» (Tong, 1977): $y_t = 1.0938y_{t-1} - 0.3571y_{t-4} + 0.3244y_{t-10} - 0.3622y_{t-11} + \xi_t$, $\sigma^2 = 0.04405$, $t_- = 1$, $t_+ = T = 113$ при наличии одного пропущенного значения в момент времени $m \in \{T-p+1, \dots, T-1\}$ (шаблон M_m) и различных уровнях априорной информации о параметрах. Проводились эксперименты по методу Монте-Карло со 100 000 реализаций временных рядов для того чтобы вычислить экспериментальное значение коэффициента неустойчивости риска K и его 95 % довери-

тельный интервал. Рис. 1 представляет значения теоретического коэффициента неустойчивости риска (9) и его 95 % доверительный интервал при различных значениях m для случая известных значений модельных параметров. Рис. 2 представляет экспериментальные значения коэффициента неустойчивости риска K_2 и его 95 % доверительный интервал для случая «plug-in» прогнозирования, основанного на предложенных оценках $\tilde{B}, \tilde{\Sigma}$. Во второй серии экспериментов исследовалось асимптотическое поведение риска для модели AR(1) для следующих значений модельных параметров: $\beta = 1/2$, $\sigma^2 = 1$. На рис. 3 представлены теоретический риск (12), «упрощенный» риск (11) и асимптотическая аппроксимация (13). Рис. 1, 2, 3 показывают достаточно хорошее соответствие теоретического и эмпирического рисков.

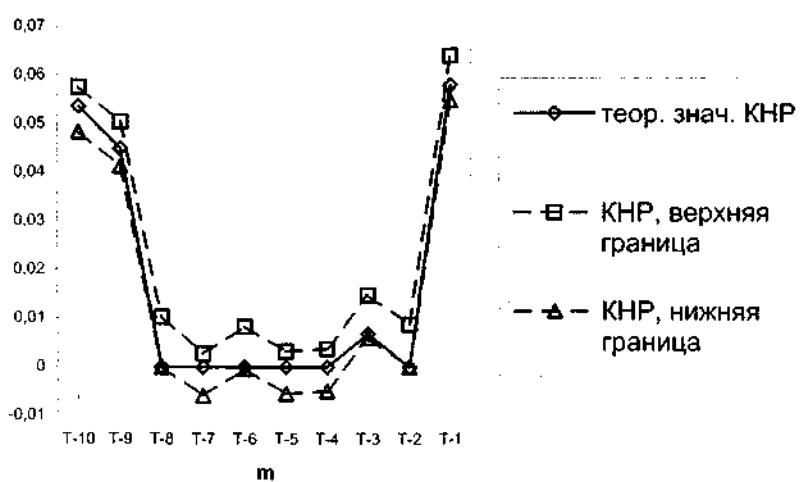


Рис. 1. Теоретические значения коэффициента неустойчивости риска (КНР)

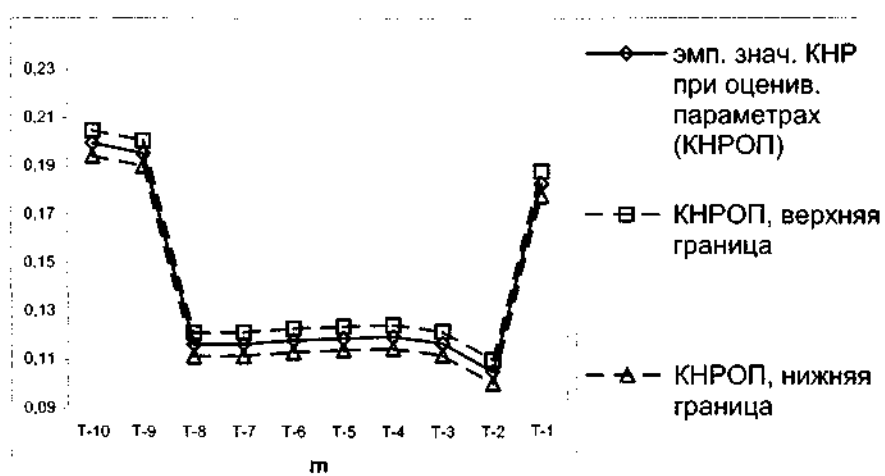


Рис. 2. Эмпирические значения коэффициента неустойчивости риска при оцениваемых параметрах

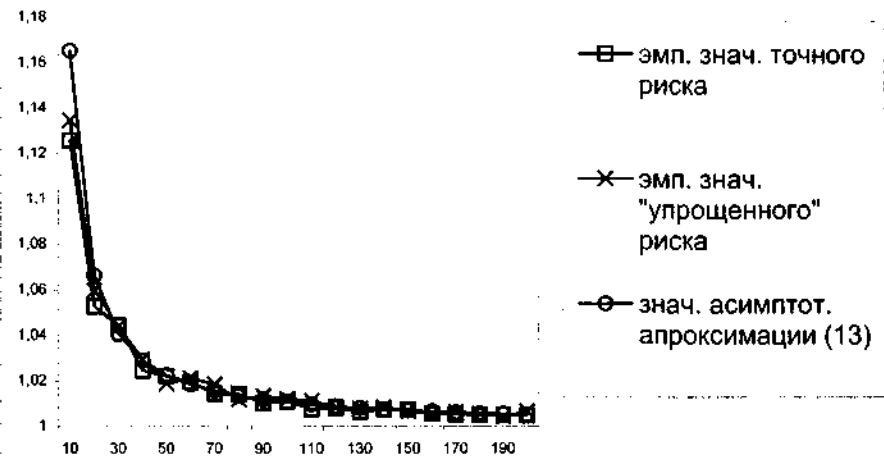


Рис. 3. Зависимость риска от длительности наблюдения

ЛИТЕРАТУРА

1. Anderson T. W. *The Statistical Analysis of Time Series* // Wiley. N.Y., 1971.
2. Greene W. H. *Econometric Analysis* // Macmillan. N.Y., 2000.
3. Kharin Yu. *Robustness in Statistical Pattern Recognition* // Kluwer. Dordrecht, 1996.
4. Kharin Yu. *Robustness Analysis in Forecasting of Time Series*, in: R. Dutter et al., eds. *Development in Robust Statistics* // Springer: Heidelberg, N. Y., 2000. P. 180–193.
5. Kharin Yu., Huryn A. *Statistical Analysis and Forecasting of Autoregressive Time Series under Missing Values* // Bulletin of the International Statistic Institute, 54th Session. 2003. Book I. Vol. 60. P. 612–613.
6. Kharin Yu., Huryn A. *Statistical Estimation of Parameters for Autoregressive Time Series with Missing Values* // PRIP'2003. Pattern Recognition and Information Processing. Minsk (Belarus) – Szczecin (Poland). 2003. P. 85–90.
7. Kharin Yu., Maevskiy V. *Robust Regressive Forecasting under Functional Distortions in a Model* // Automation and Remote Control. 2002. 63(11). P. 1803–1820.
8. Kohn R., Ansley C. F. *Estimation, Prediction and Interpolation for ARIMA Models with Missing Data* // JASA. 1986. 81(395). P. 751–761.
9. Little R., Rubin D. *Statistical Analysis with Missing Data* // Wiley. N.Y., 1987.
10. Nijman T., Palm F. *Parameter Identification in ARMA Processes in the Presence of Regular but Incomplete Sampling* // JTSA. 1990. 11(3). P. 239–238.
11. Pantula S. G., Shin D. *Testing for a Unit Root in AR Processes with Systematic but Incomplete Sampling* // Stat.&Prob. Letters. 1993. 18. P. 183–190.
12. Pourahmadi M. *Estimation and Interpolation of Missing Values of a Stationary Time Series* // JTSA. 1989. 10(2). P. 149–169.
13. Pourahmadi M. *Foundations of Time Series and Prediction Theory* // Wiley. N.Y., 2001.
14. Shafer J. L. *Analysis of Incomplete Data* // Chapman&Hall. London, 1997.
15. Stockinger N., Dutter R. *Robust Time Series Analysis: a Survey* // Kybernetika. 1987. 23. P. 1–91.
16. Tong H. *Some Comments on the Canadian Lynx Data* // J. Roy. Statist. Soc. 1977. Ser. A., 140. P. 432–436.
17. Tong H. *Non-linear Time Series* // Clarendon Press. Oxford, 1999.